Zur Theorie der Passivitätserscheinungen VII

Über das anodische Verhalten des Kupfers in schwefelsauren Elektrolyten

Von

Wolf J. Müller und Ludwig Holleck

Aus dem Institut für chemische Technologie anorg. Stoffe an der Technischen Hochschule in Wien

(Mit 12 Textfiguren und 1 Tafel)

(Vorgelegt in der Sitzung am 7. November 1929)

In den Arbeiten von W. J. Müller und K. Konopicky¹ war gezeigt worden, daß die Strom-Zeitkurve, die man bei Verwendung von Kupfer als Anode in einer kupfersulfatgesättigten Schwefelsäure als Elektrolyten erhält, in ihrem ersten Teil dem Flächenwachstumsgesetz, in ihrem zweiten Teil dem Tiefenwachstumsgesetz gehorcht. Diese Passivierung stellt einen typischen Fall von Deckschichtenpassivierung dar. Das überraschende Resultat war das, daß sich für die Leitfähigkeit des Elektrolyten in den Poren die Leitfähigkeit einer gesättigten Kupfersulfatlösung errechnete. Die Resultate führten dazu, das Verhalten des Kupfers als Anode mit Schwefelsäure als Elektrolyten in erweiterter Form zu untersuchen.

Qualitative Beobachtungen.

Bei der oben skizzierten Untersuchung in kupfersulfatgesättigter Schwefelsäure als Elektrolyt war es nach gefundenen Leitfähigkeitszahl wahrscheinlich, daß hier wie beim Eisen im entsprechenden Elektrolyten die Bedeckung aus Kupfersulfatpentahydrat besteht. Die Aufnahme einer derartig bedeckten Elektrode im polarisierten Licht ergab, wie Fig. 1 und 2 zeigt, eine volle Bestätigung. Fig. 1 zeigt die nicht bedeckte Kupferoberfläche in auffallendem unpolarisiertem Licht, auf welcher vielfach stark reflektierende Kristallflächen zu sehen sind. Fig. 2a zeigt die Aufnahme der nach obigem Verfahren bedeckten Kupferoberfläche und zeigt an zahlreichen Stellen stark doppelbrechende kleine Kristalle. Beim Drehen der Nikols werden sie dunkel, wofür sich die auf der Aufnahme dunkeln Stellen aufhellen. In Fig. 2b werden Kupfersulfatkristalle gezeigt, die sich auf einem Objektträger aus einer schwefelsauren Kupfersulfatlösung ausgeschieden haben. Die

¹ Müller und Konopicky, Monatsh. Chem. 50, 1928, S. 385, bzw. Sitzb. Ak. Wiss. Wien (II b) 137, 1928, S. 861.

Kristalltracht ergibt sich demnach in beiden Fällen als vollkommen gleichartig.

Eine merkwürdige Beobachtung machten wir, als wir das Verhalten in reiner Normal-Schwefelsäure untersuchten. Hier trat im Mikroskop deutlich beobachtbar bei längerer Dauer Trübung der anfänglich gebildeten Versuches eine Schicht ein, welche dadurch in eine weniger stark polarisierende Schicht, wie sie die Aufnahme in Fig. 3 bei gekreuzten Nikols zeigt, übergeht. Dieser Übergang fand um so schneller statt, je verdünnter die als Elektrolyt benutzte Schwefelsäure war. In 10 n. Schwefelsäure konnte er nicht mehr beobachtet werden. Da diese Umwandlung so stark von der Schwefelsäurekonzentration abhängt und in verdünnten Säuren stark auftritt, ist es wahrscheinlich, daß es sich um eine hydrolytische Umwandlung unter Einfluß der bei der Elektrolyse sich einstellenden Wasserstoffionenkonzentration handelt.

Die i_0/t_p -Kurven.

In der Arbeit mit O. Löwy² war für Eisen nachgewiesen worden, daß der Zusammenhang zwischen Anfangsstromstärke und Passivierungszeit, welche den Betrag bis zum schnellen Abfall der Stromstärke darstellt, durch die einfache Beziehung $t_p = B \left(\frac{i_0}{F_0}\right)^n$ gegeben ist, in welcher die Konstante B als spezifische Passivierungszeit und der Exponent n das passivierende Verhalten eines Elektrolyten vollständig kennzeichnen. Es zeigte sich, daß die Beziehung bei Verwendung von Schwefelsäure als Elektrolyt von 0·5 n. bis 13 n. erfüllt war³. In 0·2 n. Schwefelsäure lagen die Punkte knapp unter der 0·5 n. Kurve. Die Kurven wurden in der üblichen Weise auf doppelt logarithmischem Papier aufgetragen. Der Schnittpunkt der Kurve mit der Abszisse A ergibt die Konstante B, der Exponent n ergibt sich in einfacher Weise aus dem Neigungswinkel der Geraden. Fig. 4 (Tabelle 1) zeigt ein Beispiel für die Lage der

Ta		1.

Cu 5 n. H_2SO_4	(Titer: 5.005 n.)	. 20	o C
Volt	i_{o}	$rac{i_{_{f 0}}}{F_{_{f 0}}}$	Zeit
	A	A/cm^2	Sek.
4	$1 \cdot 020$	$1 \cdot 224$	1.6
4	0.780	0.936	2.3
3	0.560	0.672	3.6
$2 \cdot 3$	0.360	$0 \cdot 432$	$7 \cdot 2$
2	0.300	0.360	$8 \cdot 9$
1.8	$0 \cdot 247$	$0\cdot 296$	12.4

² Müller und Löwy, Monatsh. Chem. 49, 1923, S. 47, bzw. Sitzb. Ak. Wiss. Wien (IIb) 137, 1923, S. 47.

³ Das ausführliche Zahlenmaterial ist in der Dissertation von Ludwig Holleck an der Technischen Hochschule in Wien mitgeteilt.

(Zu Tabelle 1.)

Cu/5 n. H ₂ SO ₄	(Titer: 5·005 n.)		0 C
Volt		$rac{i_0}{F_0}$	Zeit
	A	A/cm^2	Sek.
1.5	$0\cdot 205$	0.246	14.7
1.2	0.144	0.173	$24 \cdot 5$
1	0.094	0.113	$46 \cdot 4$
$0 \cdot 75$	0.058	0.070	91
$0 \cdot 7$	0.037	0.044	209

Kurvengleichung: $\log t = 0.3212 - 1.442 \log \frac{i_0}{F_0}$

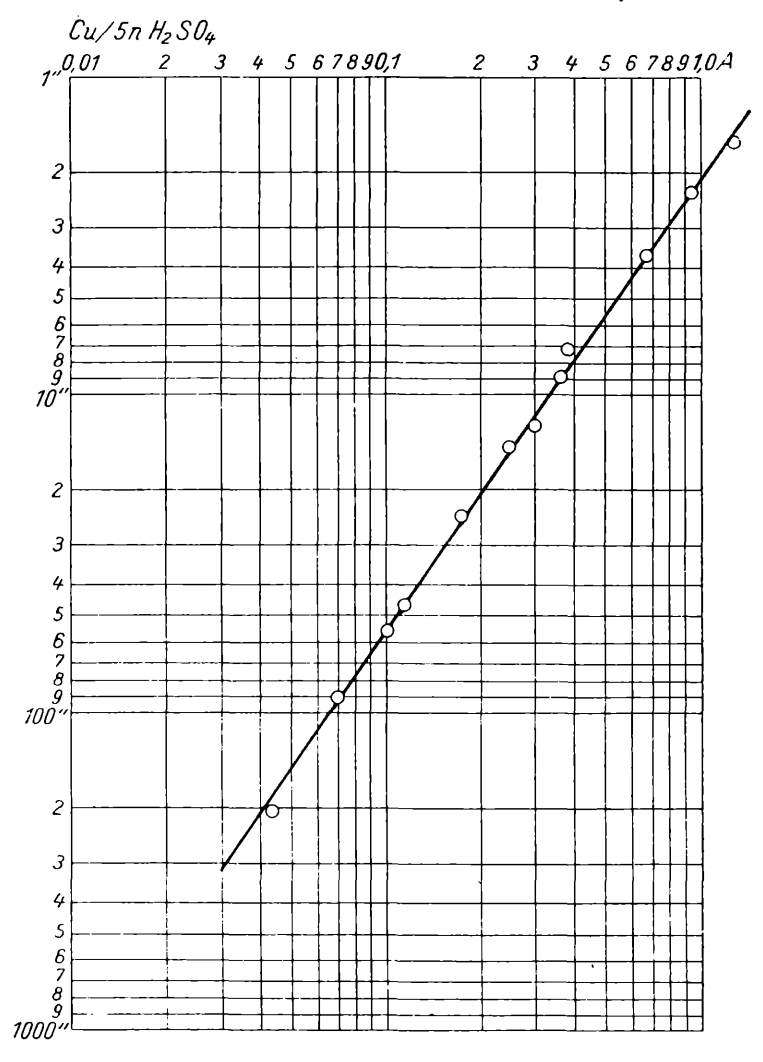


Fig. 4.

Punkte auf der Geraden, Fig. 5 zeigt die in verschieden konzentrierter Schwefelsäure erhaltenen Kurven. Die daraus ermittelten Konstanten sind in Tabelle 2 zusammengestellt. Man

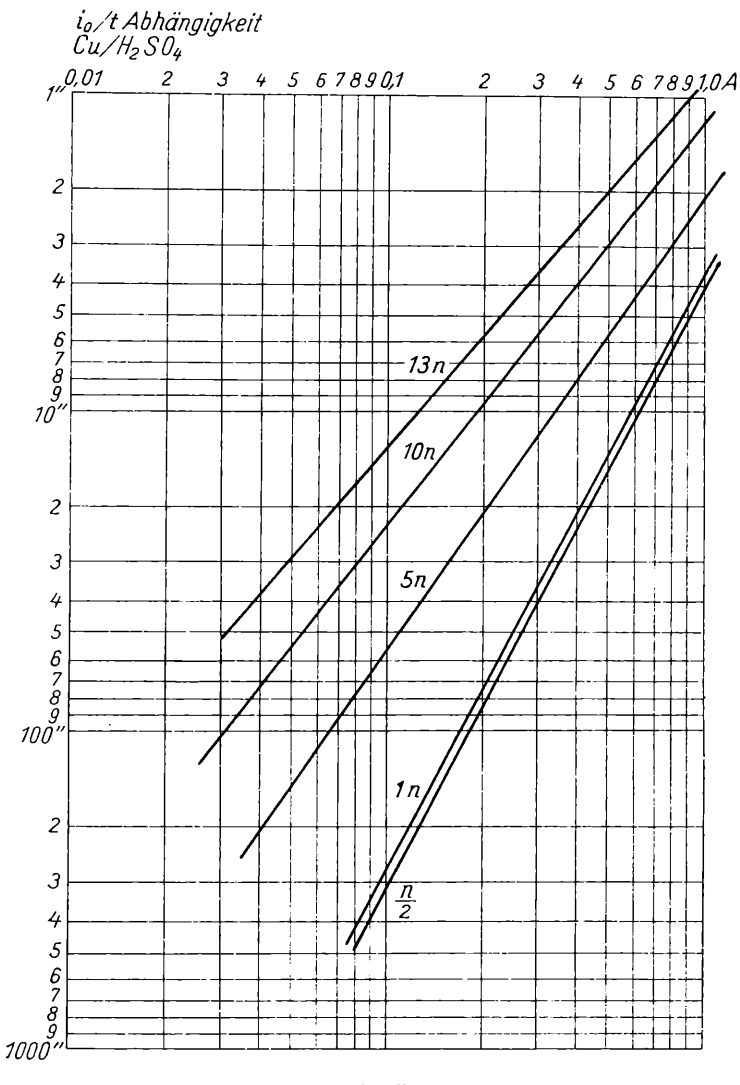
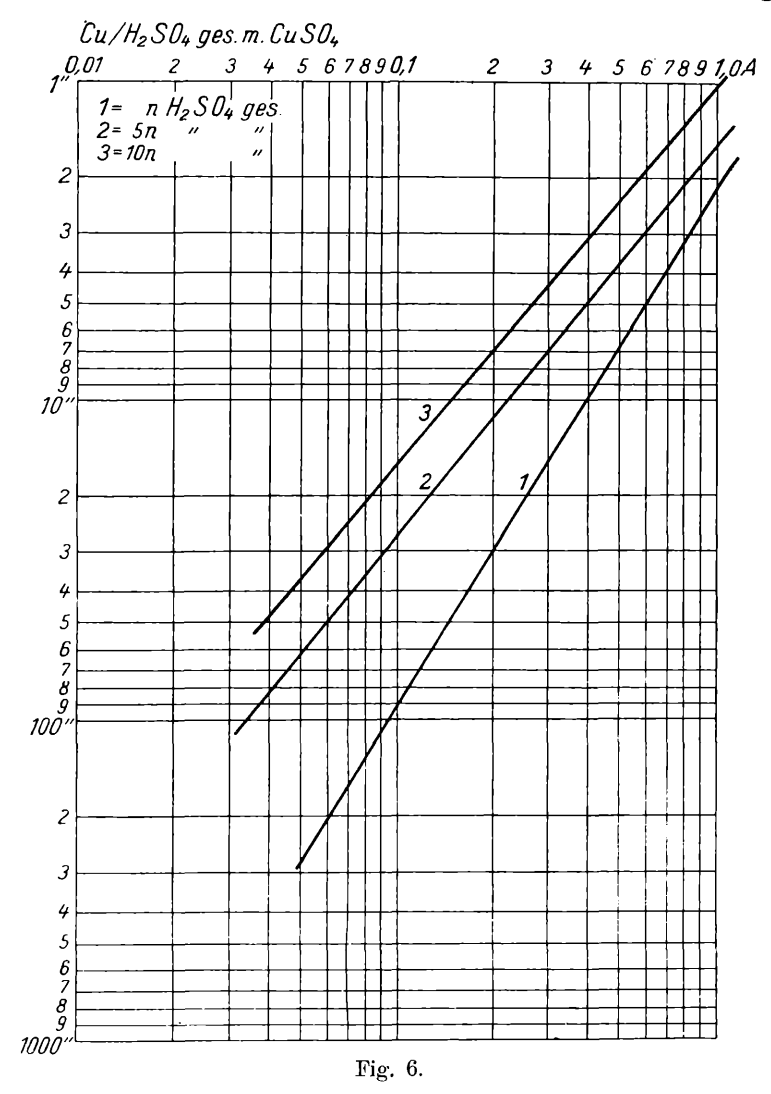


Fig. 5.

	Tabelle 2.	
Konz. d. H ₂ SO ₄	\boldsymbol{B}	n
0·4861 n.	$4 \cdot 06$	1.943
0.9721	$3 \cdot 64$	1.851
$5 \cdot 005$	$2 \cdot 09$	$1 \cdot 442$
$9 \cdot 143$	1.16	1.311
$13 \cdot 188$	0.87	$1 \cdot 196$

sieht, daß die Konstanten mit steigender Säurekonzentration fallen. Gegenüber der entsprechenden Kurve beim Eisen ist ein großer prinzipieller Unterschied vorhanden. Während die Passivierungszeiten beim Eisen bei niedrigen Säurekonzentrationen sehr klein werden, bei etwa 2—3 n. ein Maximum zeigen



und von da ab proportional der Löslichkeit des Eisensulfats in der betreffenden Schwefelsäure absinken, ist hier von einem Maximum nicht die Rede. Der Grund dafür liegt wahrscheinlich in einer Tatsache, welche im vorherigen Abschnitt qualitativ konstatiert wurde und deren Wirkung auf die Strom-Zeitkurve im nächsten Abschnitt geschildert wird.

Die oben geschilderte Umwandlung der Kupfersulfatpentahydratschicht in eine davon verschiedene, wahrscheinlich basischere Schicht geht nämlich mit einer Steigerung der Stromstärke Hand in Hand. Wie schon oben bemerkt, geht diese Umwandlung um so schneller vor sich, je verdünnter die Säure ist, u. zw. tritt sie in n. Schwefelsäure bereits so rasch ein, daß sich der dadurch bewirkte Anstieg der Stromstärke mit dem Abfall überlagert. Sättigt man den Elektrolyten mit Kupfersulfat, so geht die Abdeckung natürlich wesentlich rascher vor sich, weil die Sättigung in der Grenzschicht sofort eintritt. Die Zahlen wurden für verschiedene Konzentrationen an Schwefelsäure ermittelt. Die annähernd gesättigten Lösungen enthalten die in Tabelle 3 angegebenen Mengen Kupfersulfat und geben

Tabelle 3.

\mathbf{n}	. H ₂ SO ₄	170.4 g/l	$CuSO_4 = 266.6 \ g/l$	CuSO ₄ .5 H ₂ O
5	H ₂ SO ₄	98.58 "	$CuSO_4 = 140.1$	$CuSO_4.5 H_2O$
10	H,SO,	$28 \cdot 93$	$CuSO_4 = 45.26$,	CuSO4.5 H2O

die in Tabelle 4 enthaltenen Werte von B und n (Fig. 6). Vergleicht man die B-Werte für reine Schwefelsäure und mit

Tabelle 4.

Elektrolyt	B	n
n. H ₂ SO ₄ ges.	$2 \cdot 18$	1.595
5 H ₂ SO ₄	1.55	1.250
10 H ₃ SO ₄	$1 \cdot 01$	1 · 199

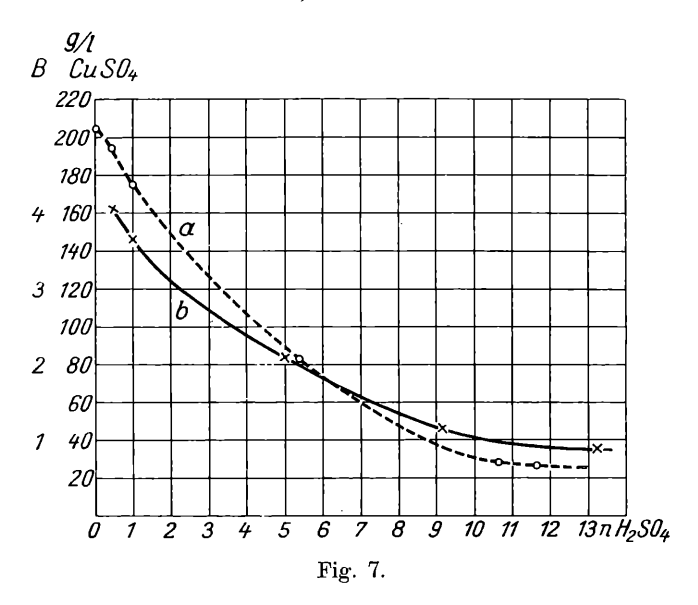
Kupfersulfat annähernd gesättigter Schwefelsäure, so ist das Verhältnis bei n. Schwefelsäure 3.64:2.18=1.67; bei 5 n. Schwefelsäure 2.10:1.55=1.35; bei etwa 10 n. Schwefelsäure 1.16:1.01=1.1. Dies hängt offenbar damit zusammen, daß die absolute Kupfersulfatkonzentration, welche in der Grenzschicht bis zum Abscheiden erreicht werden muß, in der n. Säure sehr groß $(176\ g\ \text{CuSO}_4\ \text{pro}\ l)$, während sie in der 10 n. Schwefelsäure nur noch $27\ g$ pro l beträgt. In folgendem Kurvenblatt (Fig. 7, Tabelle 5) sind die B-Werte in reiner Säure mit von uns besonders

Tabelle 5.

Löslichkeit von Ku	ıpfersulfat	Schwefelsäure.
Konz. d. H ₂ SO ₄	$g/l~{ m CuSO_4}$	spez. Gew.
0·0 n.	$204 \cdot 5$	$1 \cdot 192$
0.4653	$193 \cdot 9$	$1 \cdot 193$
$1 \cdot 0156$	$176 \cdot 4$	1 · 190
5.4218	$82 \cdot 80$	$1 \cdot 231$
10.584	$28 \cdot 28$	$1 \cdot 325$
11.652	26 · 32	1.344

ermittelten Löslichkeitswerten von CuSO₄ in Schwefelsäure verschiedener Konzentration zusammengestellt. Hiebei wurde der Maßstab der B-Werte (Kurve a) dem Maßstab der Löslichkeits-

zahlen, die in g/l angegeben sind (Kurve b), möglichst gleich gewählt. Man sieht deutlich, daß die beiden Kurven zwar symbat laufen, daß aber doch Abweichungen von einer direkten Proportionalität, welche möglicherweise auf die verschiedene Art der Ausbildung der Schicht bei verschiedenen Konzentrationen zurückzuführen sind, auftreten.



Der Temperatureinfluß wurde in 10 n. Schwefelsäure durch Messungen bei Temperaturen von 20, 30 und 40° C ermittelt. Die entsprechenden Kurven sind auf Kurvenblatt Fig. 8 wiedergegeben. Die Resultate sind in Tabelle 6 enthalten. Logarithmus B ergibt, mit der Zeit aufgetragen, eine Gerade (Fig. 9).

	Tabelle 6.				
10 n. H ₂ SO ₄ (9·1437 n.)	B	n			
20° C	$1 \cdot 16$	$1 \cdot 31$			
30° C	1.72	1.28			
40° C	$2\cdot 51$	1.28			

Der Temperaturkoeffizient nach van't Hoff ergibt sich zu rund 1·5, also niedriger wie beim Eisen in Schwefelsäure, doch sind die Zahlen für Eisen und Kupfer nicht ganz vergleichbar, weil die Messungen am Eisen in n. Schwefelsäure, hier in 10 n. Schwefelsäure, ausgeführt sind.

Die Strom-Zeitkurven.

In der Arbeit mit Konopicky war die Berechnung einer Strom-Zeitkurve, welche in n. Schwefelsäure, mit Kupfer-

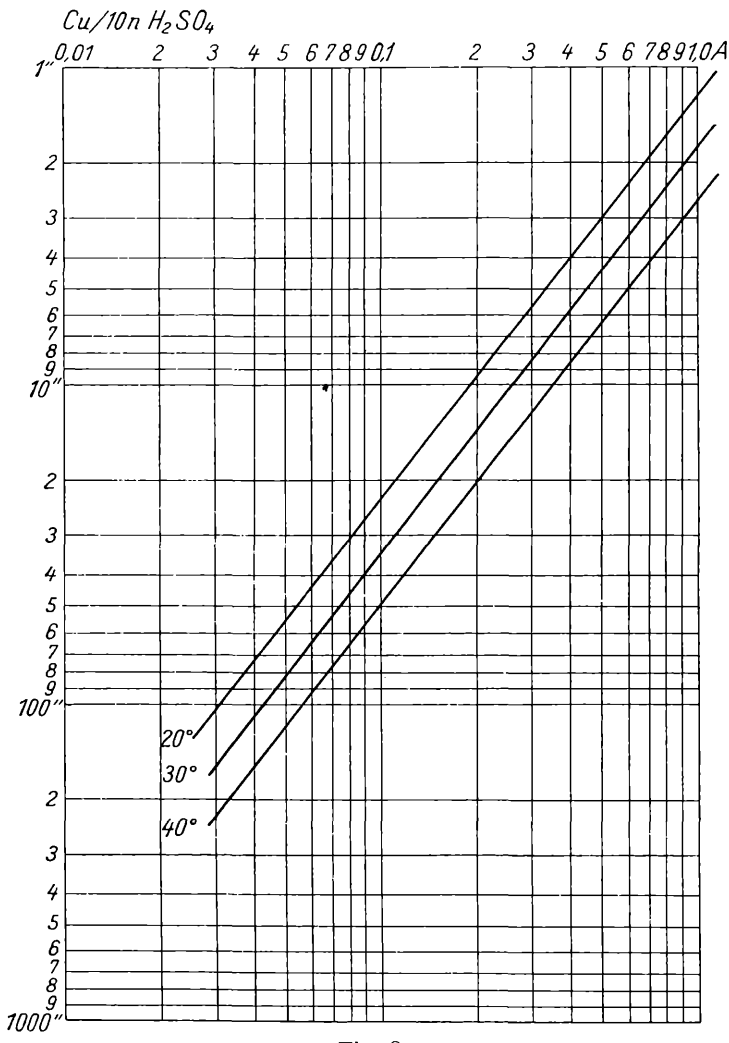
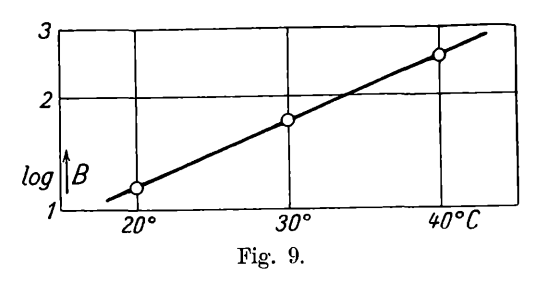


Fig. 8.

sulfat gesättigt, aufgenommen war, durchgeführt worden. Obwohl die Gültigkeit der Beziehung Anfangsstromstärke—Passi-



vierungszeit bei den verschiedensten Konzentrationen dafür spricht, daß auch die Gleichung für die Strom-Zeitkurve gültig ist, hielten wir es doch nicht für überflüssig, noch einige Kurven bei verschiedener Konzentration aufzunehmen und der Durchrechnung zu unterziehen. Fig. 10 zeigt eine Kurve in reiner

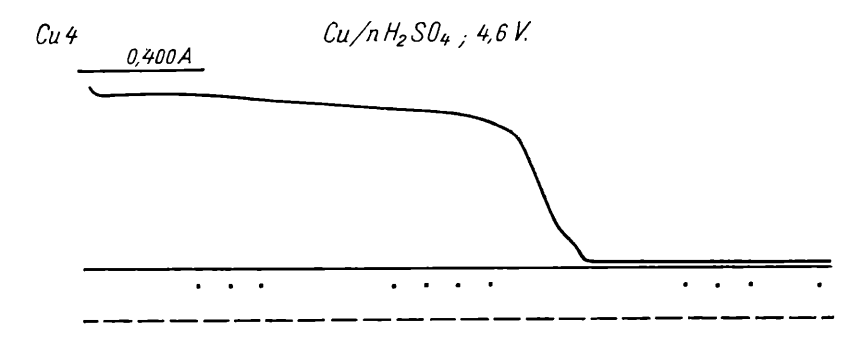


Fig. 10.

n. Schwefelsäure, wie schon oben ausgeführt. Es überlagert sich in n. Schwefelsäure die Bedeckung mit Kupfersulfat-5-Hydrat mit der Umwandlung dieser Restbedeckung in eine wahrscheinlich basischere Schicht. Dies drückt sich deutlich in dem Aussehen der Strom-Zeitkurve aus, welche bei der Berechnung große Unregelmäßigkeiten gibt, die wir infolgedessen nicht mitteilen. Dagegen ergeben sich bei Verwendung von n. Schwefelsäure, mit Kupfervitriol gesättigt, vollständig normal verlaufende Kurven, weil hier diese Umwandlung unterdrückt wird. Ein Beispiel ist der Verlauf der Kurve in Fig. 11, für welche sich die Kurvenberechnung folgendermaßen

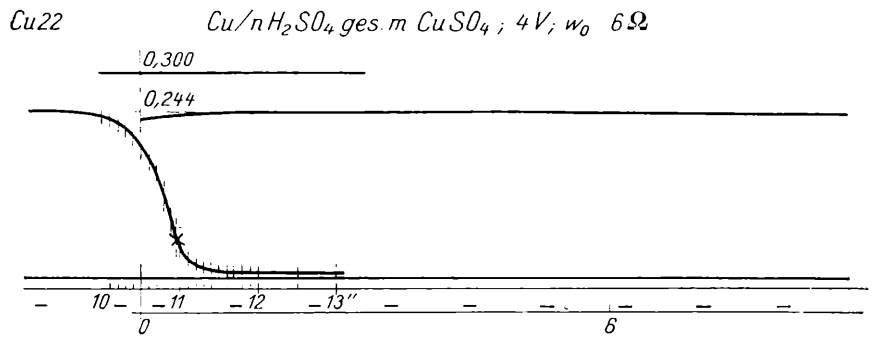


Fig. 11.

Tabelle 7.

Kurvenrechnung Cu 22 (n. H_2SO_4 ges. m. Cu SO_4). $i_0 = 0.244 \ A$; 4 Volt; $w_0 = 6 \ \Omega$; $F_0 = 0.8332 \ cm^2$.

i2 - Auswertung.

$$t \qquad \qquad i^{-2}$$

$$\frac{11 \cdot 0}{11 \cdot 2} \qquad 0 \cdot 042 \qquad 0 \cdot 001765 \qquad 567$$

$$\frac{11 \cdot 2}{11 \cdot 4} \qquad 0 \cdot 0145 \qquad 0 \cdot 000426 \qquad 2350$$

$$\frac{11 \cdot 4}{11 \cdot 6} \qquad 0 \cdot 0145 \qquad 0 \cdot 000210 \qquad 4670$$

$$\frac{11 \cdot 6}{11 \cdot 6} \qquad 0 \cdot 0114 \qquad 0 \cdot 000131 \qquad 7500$$

$$\frac{11 \cdot 8}{11 \cdot 8} \qquad 0 \cdot 0106 \qquad 0 \cdot 000112 \qquad 8940$$

$$\frac{12 \cdot 0}{12 \cdot 0} \qquad 0 \cdot 0100 \qquad 0 \cdot 000100 \qquad 10000$$

$$\frac{12 \cdot 5}{13 \cdot 0} \qquad 0 \cdot 0078 \qquad 0 \cdot 000061 \qquad 16400$$

$$\frac{13 \cdot 0}{13 \cdot 0} \qquad 0 \cdot 0072 \qquad 0 \cdot 000052 \qquad 19200$$

$$\varkappa = \frac{10 \cdot 96^2}{0 \cdot 02} \qquad 0 \qquad 293^2 \qquad \frac{55 \cdot 0 \cdot 73}{6 \cdot 10^5} \qquad = 345 \cdot 10^{-4} \Omega^{-1}$$

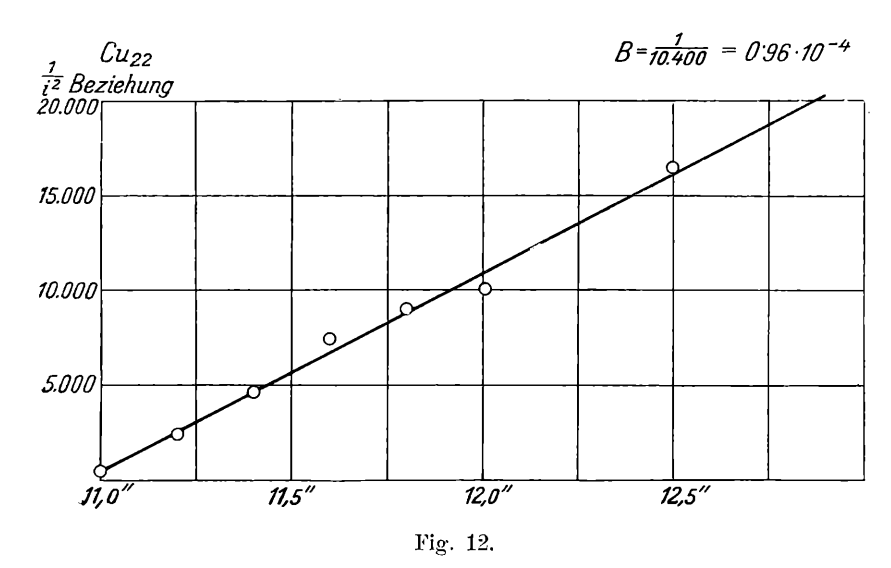
$$\vartheta = \qquad 10 \cdot 96 \cdot 0 \cdot 293 \cdot 55 \cdot 0 \cdot 73 \cdot 10^{-5} = 1 \cdot 29 \cdot 10^{-3} \ cm^2$$

$$\vartheta = \qquad \frac{125 \cdot 6 \cdot 0 \cdot 194}{1 \cdot 29 \cdot 10^{-3} \cdot 10^5} \qquad = 1 \cdot 13 \ A/cm^2$$

$$F_0' = \frac{0 \cdot 050}{1 \cdot 13} \qquad = 4 \cdot 43 \cdot 10^{-2} \ cm^2$$

$$B = \qquad \frac{1}{10400} \qquad = 0 \cdot 96 \quad 10^{-4}$$

$$F_0'' = \sqrt[3]{\frac{0 \cdot 96 \cdot 10^{-4} \cdot 55 \cdot 0 \cdot 73}{4 \cdot 345 \cdot 10^{-4} \cdot 10^5}} = \sqrt[3]{27 \cdot 9 \cdot 10^{-8}} = 0 \cdot 0528 \cdot 10^{-2} \ cm^2$$



Die nächsten beiden Kurven (Fig. 13, Tabelle 8, und Fig. 14, Tabelle 9) sind in 5 n. Schwefelsäure, mit Kupfersulfat ge-

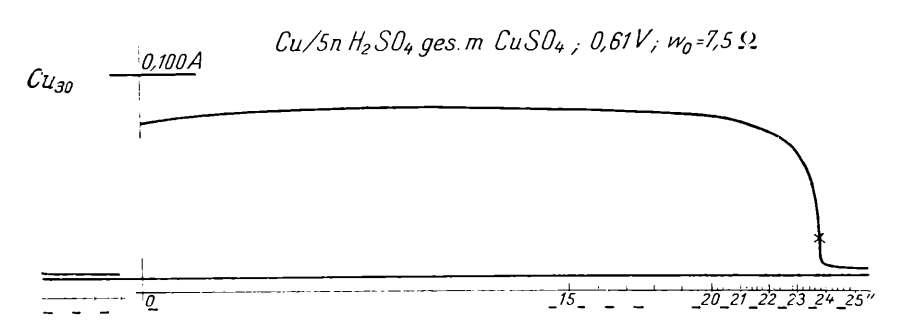


Fig. 13.

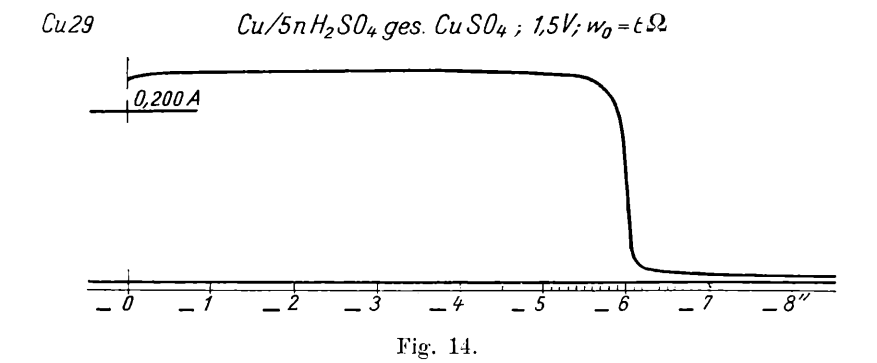


Tabelle 8.

Kurvenrechnung Cu 29 (5 n. H₂SO₄ ges. m. CuSO₄). $i_0 = 0.242 \ A \ ; \ 1.5 \ V \ ; \ w_0 = 6 \ \Omega, \ F_0 = 0.8332 \ cm^2.$

$t^{\prime\prime}$	i	$i_0 - i$	H	L	H + L	C-t	-1
$4 \cdot 5$	0.239	0.003	$-333 \cdot 3$	-18.8	$-252 \cdot 1$	1.546	0.00613
$5 \cdot 0$	0.237	0.005	$-200 \cdot 0$	-16.6	-216.6	1.046	0.00484
$5 \cdot 5$	0.233	0.009	-115.0	-14.0	-129.0	0.546	0.00423
5.6	0.229	0.013	-77.0	$-12 \cdot 3$	-89.3	0.446	0.00498
$5 \cdot 7$	0.222	0.020	-50.0	-10.3	-60.3	0.346	0.00575
5.8	0.211	0.031	— 32·3	-8.25	-40.55	0.246	0.00606
$5 \cdot 9$	0.188	0.054	-18.5	-5.35	— 23·85	0.146	0.00613
$5 \cdot 95$	0.168	$0 \cdot 074$	— 13·5	-3.20	-17.0	0.084	0.00494
6.0	0.118	0.124	-8.06	+ 0.25	— 7·81	0.0463	0.00592
6.05	0.050	0.192	-5.26	+ 5.88	+ 0.62	-0.0037	0.00592
$6 \cdot 1$	0.027	0.215	-4.65	+ 9.1	+ 4.45	-0.054	0.01213
$6 \cdot 2$	0.019	0.223	— 4·48	+10.8	+ 6.32	-0.154	0.0243
$6 \cdot 3$	0.014	0.228	- 4·39	+12.4	+ 8.01	-0.254	0.0317
$6 \cdot 4$	0.012	0.230	— 4·35	+13.1	+ 8.75	-0.354	0.0405
$6 \cdot 5$	0.011	0.231	— 4·33	+13.6	+ 9.27	-0.454	0.0491
$7 \cdot 0$	0.008	0.533	— 4·29	+14.55	+ 10.26	-0.954	0.0933
$7 \cdot 5$	0.008	0.234	$4 \cdot 27$	+15.15	+ 10.88	-1.454	0.1333
$8 \cdot 0$	0.007	$0 \cdot 235$	— 4·26	+15.8	+ 11.54	-1.554	0.135

 $C = 6.046_3$ " (i = 0.055); A = 0.0055.

 i^2 - Auswertung.

Tabelle 9.

Kurvenrechnung Cu 30 (5 n. H₂SO₄, ges. m. CuSO₄).

$$i_0 = 0.082 \text{ A}; \ 0.61 \text{ V}; \ W_0 = 6 \Omega; \ F_0 = 0.8332 \text{ cm}^2.$$

t	i	i_0 — i	H	$oldsymbol{L}$	H+L	C-t	A
$20 \cdot 0$	0.077	0.005	-200.0	-33.4	$-233 \cdot 4$	+3.76	0.0161
21.0	0.0742	0.0078	$-128 \cdot 2$	-27.5	$-155\cdot7$	+2.76	0.0178
$22 \cdot 0$	0.070	0.012	— 83·3	-21.5	-104.8	+1.76	0.0167
$22 \cdot 2$	0.0683	0.0137	73.0	-19.6	-92.6	+1.56	0.0169
22.6	0.0657	0.0163	— 61·4	-17.0	78 ·4	+1.16	0.0148
$23 \cdot 0$	0.0612	0.0208	— 48·2	-13.2	-61.4	+0.76	0.0124
$23 \cdot 2$	0.0575	0.0245	— 40·8	-10.4	-51.2	+0.56	0.0109
$23 \cdot 4$	0.0478	0.0342	-29.3	— 4·1	$-33 \cdot 4$	+0.36	0.0108
$23 \cdot 6$	0.038	0.044	$-22\cdot7$	+ 1.73	— 20·97	+0.16	0.0076
$23 \cdot 7$	0.029	0.053	-18.9	+ 7.37	-11.53	+0.06	0.0052
$23 \cdot 8$	0.0116	0.0704	-14.2	+22.0	+ 7.8	-0.04	0.0051
$24 \cdot 0$	0.0065	0.0755	-13.25	+29.8	+ 16.55	-0.24	0.0145
$24 \cdot 2$	0.0059	0.0761	-13.14	+31.2	+ 18.06	-0.44	0.0244
$24 \cdot 6$	0.005	0.077	- 13.0	+33.4	+ 20.4	-0.84	0.0412
$25 \cdot 0$	0.0046	0.0774	— 12·9	+34.4	+ 21.5	-1.24	0.0576

i² - Auswertung.

 $C = 23.76 \ (i = 0.018_{\rm s}).$

t	i	i^2	i^{-2}
$23 \cdot 8$	0.0116	0.000134	7470
$24 \cdot 0$	0.0065	0.0000422	23700
$24 \cdot 2$	0.0059	0.0000348	28700
24.6	0.0050	0.0000250	40000
$25 \cdot 0$	0.0046	0.0000215	46500
$26 \cdot 0$	0.0037	0.0000137	73000
$27 \cdot 0$	0.0031	0.0000096	104000

$$= \frac{23 \cdot 76^{2}}{0 \cdot 01} \cdot 0 \cdot 097^{2} \cdot \frac{55 \cdot 0 \cdot 73}{6 \cdot 10^{5}} = 355 \cdot 10^{-4} \Omega^{-1}$$

$$= 23 \cdot 76 \cdot 0 \cdot 097 \cdot 55 \cdot 0 \cdot 73 \cdot 10^{-5} = 0 \cdot 927 \cdot 10^{-3} cm$$

$$= \frac{125 \cdot 6 \cdot 0 \cdot 064}{0 \cdot 927 \cdot 10^{-3} \cdot 10^{5}} = 0 \cdot 52 A/cm^{2}$$

$$F_{0}' = \frac{0 \cdot 018}{0 \cdot 52} = 3 \cdot 46 \cdot 10^{-2} cm^{2}$$

$$B = \frac{1}{41000} = 0 \cdot 244 \cdot 10^{-4}$$

$$F_{0}'' = \sqrt{\frac{0 \cdot 244 \cdot 10^{-4} \cdot 55 \cdot 0 \cdot 73}{0 \cdot 61 \cdot 355 \cdot 10^{-4} \cdot 10^{5}}} = \sqrt{45 \cdot 3 \cdot 10^{-3}} = 0 \cdot 0674 \cdot 10^{-2} cm^{2}$$

sättigt, bei zwei sehr verschiedenen Stromdichten aufgenommen. Auch in 5 n. Schwefelsäure nicht gesättigt (Fig. 15, Tabelle 10), erhält man einen ähnlichen Verlauf. Wie man sieht,

Tabelle 10.

Kurvenrechnung Cu 19 (5 n. H₂SO₄). $i_0 = 0.377$; 2·7 V; $w_0 = 7 Ω$; $F_0 = 0.8332 cm^2$.

$t^{\prime\prime}$	i	i_0 — i	H	L	H+L	C-t	\mathbf{A}
$6 \cdot 0$	0.363	0.014	$-71 \cdot 4$	-8.6	80.0	0.564	0.00706
$6 \cdot 1$	0.357	0.020	-50.0	-7.63	-57.63	0.464	0.00806
$6 \cdot 2$	0.350	0.027	-37:1	-6.77	-43.87	0.364	0.00830
$6 \cdot 3$	$0 \cdot 332$	$0 \cdot 045$	$-22 \cdot 2$	-5.3	-27.50	0.264	0.00959
$6 \cdot 4$	$0 \cdot 297$	0.080	-12.5	-3.48	-15.98	0.164	0.01025
$6 \cdot 45$	0.278	0.099	-10.01	-2.74	-12.75	0.114	0.00896
$6 \cdot 5$	$0 \cdot 167$	0.210	-4.77	+0.61	 4·16	0.064	0.0154
$6 \cdot 55$	0.093	0.284	-3.52	+2.95	— 0.57	0.014	0.0245
$\overline{6 \cdot 6}$	0.0564	0.3206	— 3·12	+4.6	+ 1.48	-0.036	0.0243
$6 \cdot 7$	0.038	0.339	-2.95	+5.8	+ 2.85	-0.136	0.0278
$6 \cdot 8$	0.0296	0.3474	— 2·88	+6.52	+ 3.64	-0.236	0.065
$6 \cdot 9$	0.025	$0 \cdot 352$	-2.84	+7.0	+ 4.16	-0.336	0.0807
$7 \cdot 0$	0.0217	0.3553	- 2.82	+7.4	+ 4.58	-0.436	0.0953
$7 \cdot 5$	0.0139	0.3631	 2.76	+8.52	+ 5.76	-0.936	0.162
8.0	0.0116	0.3654	— 2·73	+9.15	+ 6.42	-1.436	0.223
$8 \cdot 5$	0.0095	0.3678	— 2·72	+9.77	+ 7.05	-1.936	0.275
			$C = 6.56_4$	(i = 0.08)	83 A),		

i² - Auswertung.

t	i	i^2	i^{-2}
6.6	0.0564	0.003680	272
$6 \cdot 7$	0.0380	0.001442	693
6.8	0.0296	0.000875	1145
$6 \cdot 9$	0.0250	0.000625	1603
$7 \cdot 0$	0.0217	0.000470	2130
$7 \cdot 5$	0.0139	0.000193	5180
$8 \cdot 0$	0.0116	0.000134	7450
$8 \cdot 5$	$0 \cdot 0092$	0.000085	11800

$$\begin{split} \varkappa &= \frac{6 \cdot 56^2 \cdot 0 \cdot 452^2 \cdot 55 \cdot 0 \cdot 73}{0 \cdot 011 \cdot 7 \cdot 10^5} &= 460 \cdot 10^{-4} \ \Omega^{-1} \\ \delta &= 6 \cdot 56 \cdot 0 \cdot 452 \cdot 55 \cdot 0 \cdot 73 \cdot 10^{-5} = 1 \cdot 19 \cdot 10^{-3} \ cm \\ \varepsilon &= \frac{125 \cdot 7 \cdot 0 \cdot 29^4}{1 \cdot 19 \cdot 10^{-3} \cdot 10^5} &= 2 \cdot 16 \ A/cm^2 \\ F_0' &= \frac{0 \cdot 083}{2 \cdot 16} &= 3 \cdot 83 \cdot 10^{-2} \ cm^2 \\ B &= \frac{1}{5350} &= 1 \cdot 87 \cdot 10^{-4} \\ F_0'' &= \sqrt[3]{\frac{1 \cdot 87 \cdot 10^{-4} \cdot 55 \cdot 0 \cdot 73}{2 \cdot 7 \cdot 460 \cdot 10^{-4} \cdot 10^5}} &= \sqrt[3]{0 \cdot 606 \cdot 10^{-6}} = 0 \cdot 0779 \cdot 10^{-2} \ cm^2 \end{split}$$

stimmen die Bedeckungsgesetze in allen Fällen ziemlich überein. In der nächsten Tabelle (11) sind die wichtigsten Konstantenwerte sowie die daraus errechneten Zahlen der Leit-

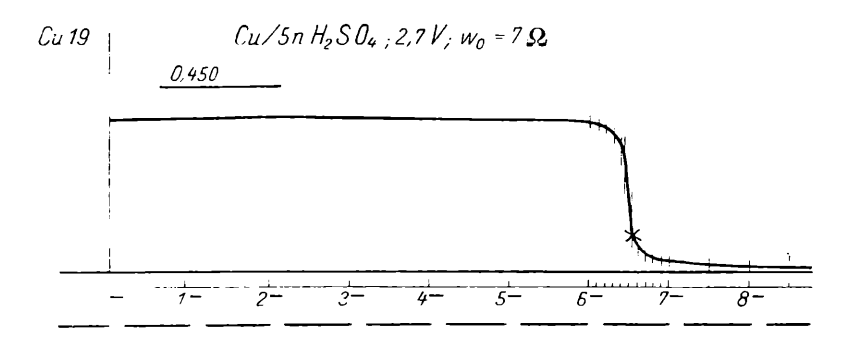


Fig. 15.

T	ah	aľ	۱۸	1	1	
- 1	a 11	нι	IP.	- 1		

Kurve	ıl		δ	F_{o}^{\prime}	$F_{ m o}^{\;\prime\prime}$
Cu 22	$0 \cdot 02$	345.10^{-4}	$1 \cdot 29.10^{-3}$	$4 \cdot 43.10^{-2}$	$0 \cdot 053.10^{-2}$
Cu 29	0.0055	373.10^{-4}	$0.705.10^{-3}$	$2 \cdot 77.10^{-2}$	$0.074.10^{-2}$
Cu 30	0.01	355.10^{-4}	$0.927.10^{-3}$	3.46.10	$0.067.10^{-2}$
Cu 19	0.011	460.10^{-4}	$1 \cdot 19 \cdot 10^{-3}$	$3.83.10^{-2}$	$0.074.10^{-2}$

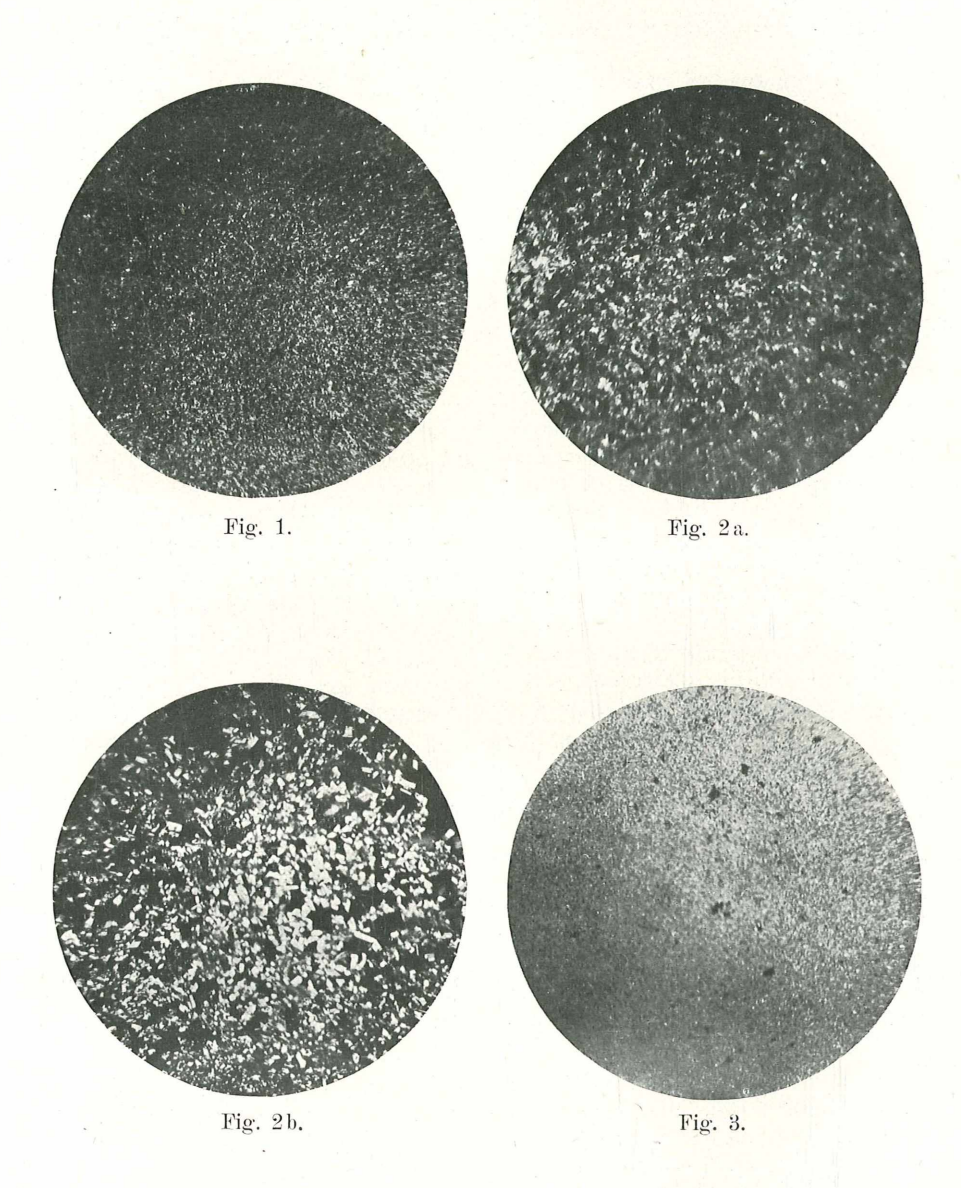
fähigkeit zusammengestellt. Die Leitfähigkeit ergibt sich überall in der Größenordnung der gesättigten Kupfervitriollösung, ist aber merkwürdigerweise durchgehend etwas kleiner. Eine merkwürdige Diskrepanz, welche vorläufig schwer zu erklären ist, ergibt sich bei der Berechnung der freien Oberfläche nach der Flächen- und Tiefenbeziehung. Die bei Einsetzen des Tiefenwachstums sich berechnenden Werte sind um ungefähr 1 Zehnerpotenz kleiner als die aus dem Flächenbedeckungsgesetz sich berechnenden. Es mag dies mit der immerhin großen Löslichkeit der, die Bedeckung bildenden Schicht zusammenhängen, was bewirken kann, daß sich im Übergangsgebiet die Geltungsbereiche der beiden Gleichungen schon übereinander lagern, wie dies ja auch aus dem Ansteigen der Konstanten A zu sehen ist. Die Aufklärung dieser Frage hoffen wir durch genauere Messungen noch bringen zu können. Aus allen Messungen ergibt sich jedenfalls, daß Kupfer in Schwefelsäure in dem untersuchten Strom-Spannungsgebiet nur Erscheinungen von Bedeckungspassivität zeigt und daß die für diesen Fall aufgestellten Gleichungen sich in vollem Umfang bestätigt haben.

Zusammenfassung.

In vorliegender Arbeit wurde das anodische Verhalten einer geschützten Kupferelektrode gegen Schwefelsäure bei

Variation der Konzentration, des Sättigungszustandes an Kupfersulfat und der Temperatur nach verschiedenen Methoden untersucht. Es ergab sich, daß die Beziehung für den Zusammenhang von Anfangsstromstärke und Passivierungszeit in allen Fällen Gültigkeit besitzt. Bei niedrigen Säurekonzentrationen wird der Vorgang der Bedeckung durch einen zweiten überlagert, welcher in einer Umwandlung der primär sich bildenden Schicht von Kupfersulfat-Pentahydrat besteht. In polarisiertem Licht zeigt sich dies in einer Änderung von stark doppelbrechenden Kristallen, welche diskret nebeneinander gelagert sind, in eine weniger stark polarisierende Schicht. Die Abhängigkeit der Konstanten B und n von der Konzentration der Säure zeigte, von kleinster Konzentration angefangen, einen steten fallenden Gang im Gegensatz zu dem ausgeprägten Maximum, welches sich beim Eisen ergab. Die Abnahme von B geht symbat mit der Löslichkeit des Kupfersulfats in der betreffenden Säure, weicht aber von strenger Proportionalität ab. Der Temperatureinfluß in reiner 10 n. Schwefelsäure (Temperaturkoeffizient nach van 't Hoff 1.5) war kleiner als der auf Eisen in n. Schwefelsäure, was wahrscheinlich auf die geringe Löslichkeit des Kupfersulfats in der betreffenden Säure zurückzuführen ist.

Die Berechnung der Strom-Zeitkurve nach dem Flächenund Tiefenbedeckungsgesetz ergab Konstanten, welche das Vorliegen von Bedeckungspassivität beweisen. Die Untersuchungen bestätigen also die Gültigkeit der Gesetze der Bedeckungspassivität bei Kupfer in Schwefelsäure in recht weitem Umfang.



ZOBODAT - www.zobodat.at

Zoologisch-Botanische Datenbank/Zoological-Botanical Database

Digitale Literatur/Digital Literature

Zeitschrift/Journal: <u>Sitzungsberichte der Akademie der Wissenschaften</u>

mathematisch-naturwissenschaftliche Klasse

Jahr/Year: 1929

Band/Volume: 138_2b

Autor(en)/Author(s): Müller Wolf Johannes, Holleck Ludwig

Artikel/Article: Zur Theorie der Passivitätserscheinungen VII. Über das anodische Verhalten des Kupfers in schwefelsauren Elektrolyten. 515-

<u>530</u>